

# MAC 5711 - Análise de Algoritmos

Rodrigo Augusto Dias Faria  
Departamento de Ciência da Computação - IME/USP

22 de novembro de 2015

## Lista 7

**1. (CRLS 22.2-1)** Simule o funcionamento da BFS no grafo da Figura 22.2(a) do CLRS (segunda edição) a partir do vértice 3, determinando os valores de  $d$  e  $\pi$  para cada vértice.

**Resposta:** Inicializamos os atributos  $color$ ,  $d$  e  $\pi$  de cada vértice  $v \in V$  do grafo com WHITE,  $\infty$  e NIL, respectivamente, conforme a primeira iteração do algoritmo BFS, exceto para o nó 3 que é o parâmetro  $s$  neste caso, cujo  $d = 0$  e sua cor é GRAY, conforme pode ser visto em **a**).

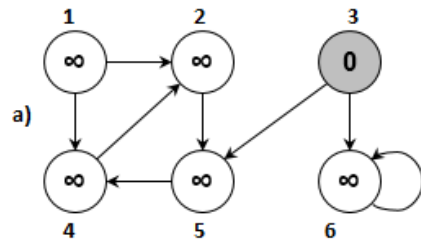
Colocamos  $s$  na fila e, então, visitamos a lista de adjacências de cada vértice a partir de  $s$ , sendo que  $u$  é o vértice retirado da pilha - aquele cuja cor é BLACK ao final do *for* da linha 12.

Note que o valor de  $d$  está dentro de cada vértice do grafo e, a cada novo vértice que descobrimos a partir de  $u$ , ou seja, aquele que ainda tem a cor WHITE, marcamos em seu atributo  $\pi$  o seu antecessor - o próprio  $u$  - que destacamos em laranja.

Note, também, que há casos em que nenhum novo vértice é descoberto, como em **d**), por exemplo.

Quando a pilha estiver vazia, concluímos a execução do algoritmo. Note que, neste caso, o vértice 1 não pode ser atingido a partir de 3 e, portanto, seu antecessor  $\pi$  fica marcado como NIL. O vértice  $s$  também tem seu antecessor NIL, já que é a entrada da busca no grafo e isso ocorre sempre.

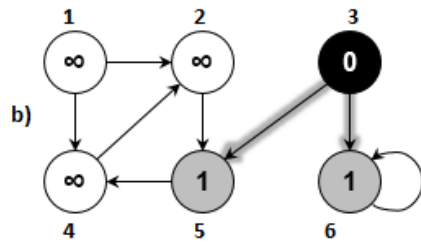
As arestas que estão destacadas formam a *breadth-first tree* e o antecessor de cada nó da árvore é dado pelo atributo  $\pi$  de cada vértice.



$Q$ 

3
---

$V$	1	2	3	4	5	6
$\pi$	nil	nil	nil	nil	nil	nil

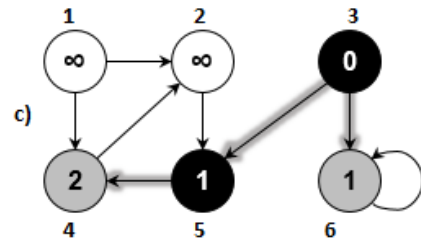


$Q$ 

5	6
---	---

$V$	1	2	3	4	5	6
$\pi$	nil	nil	nil	nil	3	3

$u = 3$



$Q$ 

6	4
---	---

$V$	1	2	3	4	5	6
$\pi$	nil	nil	nil	5	3	3

$u = 5$

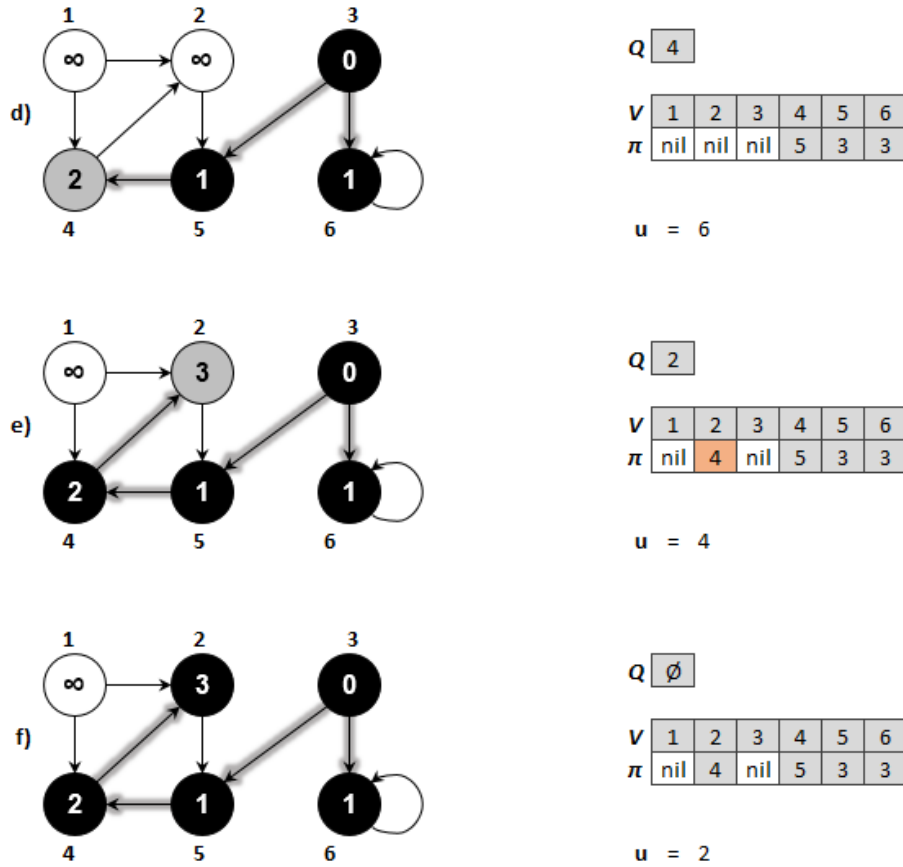
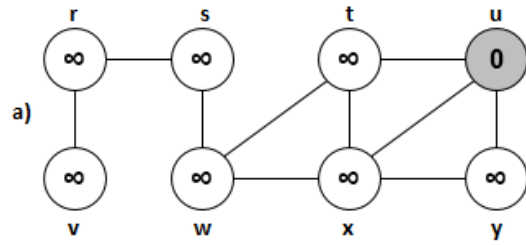


Figura 1: Sequência das operações do algoritmo BFS, sendo  $s = 3$ .

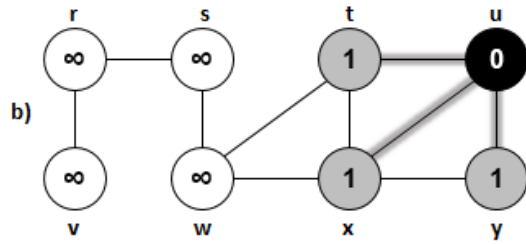
**2. (CRLS Ex. 22.2-2)** Simule o funcionamento da BFS no grafo da Figura 22.3 do CLRS (segunda edição) a partir do vértice  $u$ , determinando os valores de  $d$  e  $\pi$  para cada vértice.

**Resposta:** A mesma analogia aplicada na questão anterior pode ser utilizada aqui, mesmo tratando-se de um grafo não orientado, o algoritmo BFS funciona em ambos os casos, conforme vimos em sala/CLRS.



Q [ u ]

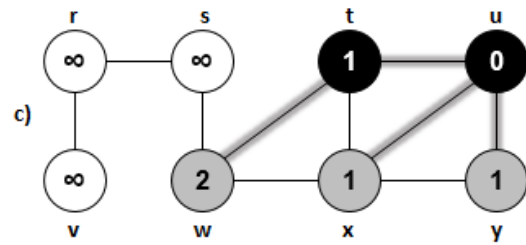
V	r	s	t	u	v	w	x	y
$\pi$	nil	nil	nil	nil	nil	nil	nil	nil



Q [ t x y ]

V	r	s	t	u	v	w	x	y
$\pi$	nil	nil	u	nil	nil	nil	u	u

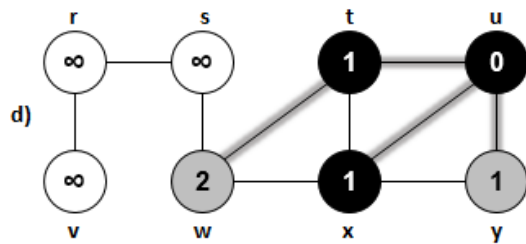
u = u



Q [ x y w ]

V	r	s	t	u	v	w	x	y
$\pi$	nil	nil	u	nil	nil	t	u	u

u = t



Q [ y w ]

V	r	s	t	u	v	w	x	y
$\pi$	nil	nil	u	nil	nil	t	u	u

u = x



Figura 2: Sequência das operações do algoritmo BFS, sendo  $s = u$ .

3. (CRLS 22.2-4) Argumente que o valor de  $d[u]$  atribuído ao vértice  $u$  na BFS é independente da ordem em que os vértices das listas de adjacências são dados. Por outro lado, mostre, usando o exemplo da Figura 22.3 do CLRS, que a árvore BFS depende da ordem dos vértices nas listas de adjacências.

**Resposta:** O atributo  $d$  de cada vértice  $v$  é calculado uma única vez na linha 15, sendo que este valor é incrementado a cada nível da árvore que algoritmo descobre a partir de  $s$ .

Se tomarmos, por exemplo, o vértice  $u$  do exercício anterior, de qualquer forma que organizarmos a sua lista de adjacências ( $\{t, x, y\}, \{x, y, t\}, \{y, t, x\}$ ), o atributo  $d$  de cada um destes vértices sempre será 1, o que nos mostra que eles estão em um nível imediatamente abaixo de  $u$  na árvore.

Por outro lado, a ordem da lista de adjacências influencia na árvore resultante após a aplicação do algoritmo. Usando o mesmo exemplo que citamos no caso anterior, se tomarmos a lista de adjacências de  $u$  na ordem  $\{x, y, t\}$ , a sub-árvore do segundo nível terá, agora, o vértice  $x$  como a raiz, e não mais  $t$ , como visto no exercício 2. Consequentemente, o atributo  $\pi$  do vértice  $w$  também muda, já que  $x$ , agora, passa a ser o seu antecessor.

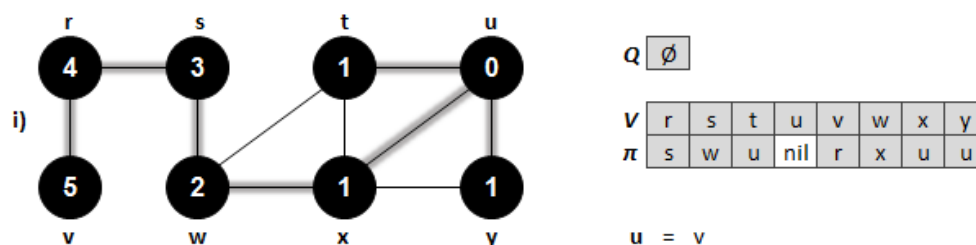


Figura 3: Árvore resultante do algoritmo BFS, sendo  $s = u$  e a lista de adjacências na ordem  $\{x, y, t\}$ .

**4. (CRLS 22.2-5)** Considere um grafo orientado  $D = (N, A)$ . Dê um exemplo de um conjunto  $A_\pi \subseteq A$  de arcos em  $D$  que formam uma árvore tal que, entre quaisquer dois nós  $u$  e  $v$  em  $D$ , o único caminho entre  $u$  e  $v$  em  $A_\pi$  é um caminho mínimo em  $D$  entre  $u$  e  $v$ , porém,  $A_\pi$  jamais seria produzida por uma execução da BFS em  $D$ , independente da ordem dos nós nas listas de adjacências de  $D$  e do nó inicial  $s$ .

**Resposta:** Seja o conjunto de arcos  $A_\pi$  destacados no grafo da figura 4.

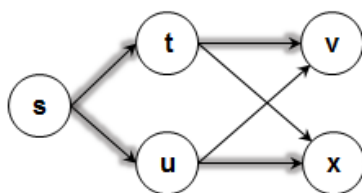


Figura 4: Grafo orientado  $D = (N, A)$ .

Note que, independente da ordem dos elementos adjacentes a  $s$ ,  $t$  e  $u$ , essa representação jamais poderá ser obtida pela BFS. A ordem das listas de adjacências dos elementos  $t$  e  $u$  também não influenciam na forma com que a árvore será gerada. A figura 5 mostra o resultado da execução da BFS, bem como a lista de adjacências em ordens diferentes em cada caso.

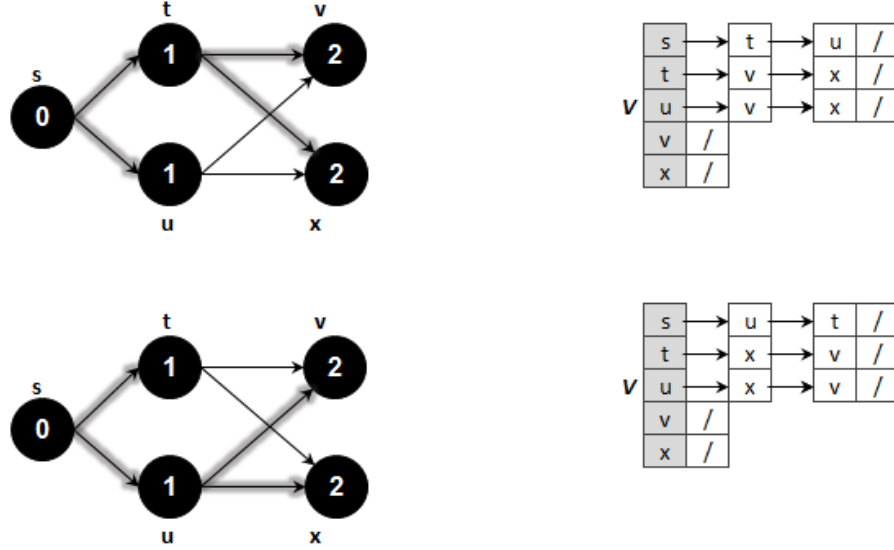


Figura 5: Execução da BFS no grafo orientado  $D = (N, A)$  com a lista de adjacências em duas ordens distintas.

5. Escreva uma versão não recursiva da busca em profundidade.

**Resposta:** Podemos utilizar uma pilha como apoio para aprofundar na lista de adjacências de cada nó da árvore, substituindo a recursão.

Além disso, nós usamos uma fila FIFO para a lista de adjacências de cada vértice  $u$  e, assim que um novo vértice  $v$  adjacente à  $u$  é encontrado e ele ainda não foi visitado, nós o visitamos e empilhamos  $v$  em  $S$ .

Note que nós somente retiramos  $u$  da pilha (linha 11 da DFS-VISIT) quando todos os vértices da lista de adjacências dele foram visitados, ou seja, o momento em que devemos marcar  $u$  como finalizado (sub-rotina BLACKEN).

Outro ponto importante é que, como visto na linha 12 da ITERATIVE-DFS, o vértice  $s$  que dá origem à busca tem seu ancestral como  $nil$ , o que garante o funcionamento da mesma forma que a DFS original. Isso também garante que a busca funciona nos casos em que tivermos mais de uma componente conexa no grafo.

**Consumo de tempo:** O *loop* das linhas 2-8 da ITERATIVE-DFS tomam  $\Theta(V)$  para inicializar cada vértice  $u \in V[G] + \Theta(E)$  para montar a fila de adjacências de cada vértice  $u$ . As sub-rotinas BLACKEN, GRAYEN, bem como as operações na fila/pilha tomam  $\Theta(1)$ . O *loop* das linhas 10-13 consome tempo  $\Theta(V)$ , ou seja, executa no máximo uma vez para cada vértice  $v \in G$ , já que DFS-VISIT é executado apenas em vértices que ainda não foram descobertos - àqueles que ainda são brancos. Como a fila de adjacências é visitada no máximo uma vez na sub-rotina DFS-VISIT e a soma do comprimento da fila de adjacências de cada vértice  $v$  é  $\Theta(E)$ , o tempo gasto na DFS-VISIT é  $O(E)$ .

Portanto, o consumo de tempo total será  $O(V + E)$ , o que mantém o comportamento assintótico original da DFS.

ITERATIVE-DFS( $G$ )

```
1  // let  $S$  be an empty stack
2  for each vertex  $u \in V[G]$ 
3       $color[u] = \text{WHITE}$ 
4       $\pi[u] = \text{NIL}$ 
5       $n = Adj[u].length$ 
6      for  $i = n$  to 1
7           $v = Adj[u][i]$ 
8          ENQUEUE( $Qadj[u], v$ )
9   $time = 0$ 
10 for each vertex  $u \in V[G]$ 
11     if  $color[u] == \text{WHITE}$ 
12         GRAYEN( $u, \text{NIL}$ )
13         DFS-VISIT( $u$ )
```

DFS-VISIT( $s$ )

```
1  PUSH( $S, s$ )
2  while  $S \neq \emptyset$ 
3       $u = \text{TOP}(S)$ 
4      if  $Qadj[u] \neq \emptyset$ 
5           $v = \text{DEQUEUE}(Qadj[u])$ 
6          if  $color[v] == \text{WHITE}$ 
7              GRAYEN( $v, u$ )
8              PUSH( $S, v$ )
9      else
10         BLACKEN( $u$ )
11         POP( $S$ )
```

GRAYEN( $v, u$ )

```
1   $color[v] = \text{GRAY}$ 
2   $time = time + 1$ 
3   $d[v] = time$ 
4   $\pi[v] = u$ 
```

BLACKEN( $u$ )

```
1   $color[u] = \text{BLACK}$ 
2   $time = time + 1$ 
3   $f[u] = time$ 
```

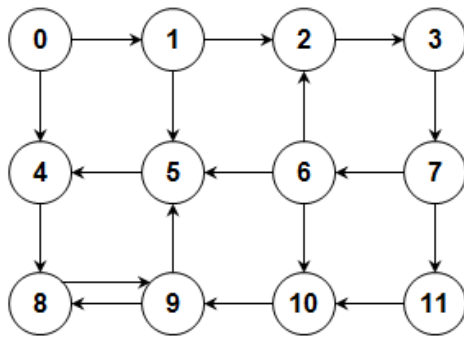
6. Execute uma busca em profundidade a partir do vértice 0 no grafo orientado dado pelas listas de adjacência a seguir. Exiba o rastreamento da busca.

```
0: 1 4
1: 2 5
2: 3
```

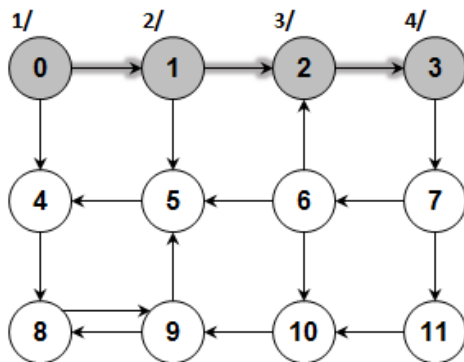


3: 7  
 4: 8  
 5: 4  
 6: 5 10 2  
 7: 11 6  
 8: 9  
 9: 5 8  
 10: 9  
 11: 10

**Resposta:** A figura 6 mostra o grafo formado pela lista de adjacências dada, bem como o rastreamento no momento em que o vértice 3, 6 e 8 são descobertos, e o resultado final da DFS ao final de todas as chamadas recursivas, respectivamente. Os tempos  $d$  e  $f$  estão no vetor à direita e, também, acima de cada vértice.



$v$	0	1	2	3	4	5	6	7	8	9	10	11
$\pi$	nil	nil	nil	nil	nil	nil	nil	nil	nil	nil	nil	nil
$d$												
$f$												



$v$	0	1	2	3	4	5	6	7	8	9	10	11
$\pi$	nil	0	1	2	nil	nil	nil	nil	nil	nil	nil	nil
$d$	1	2	3	4								
$f$												

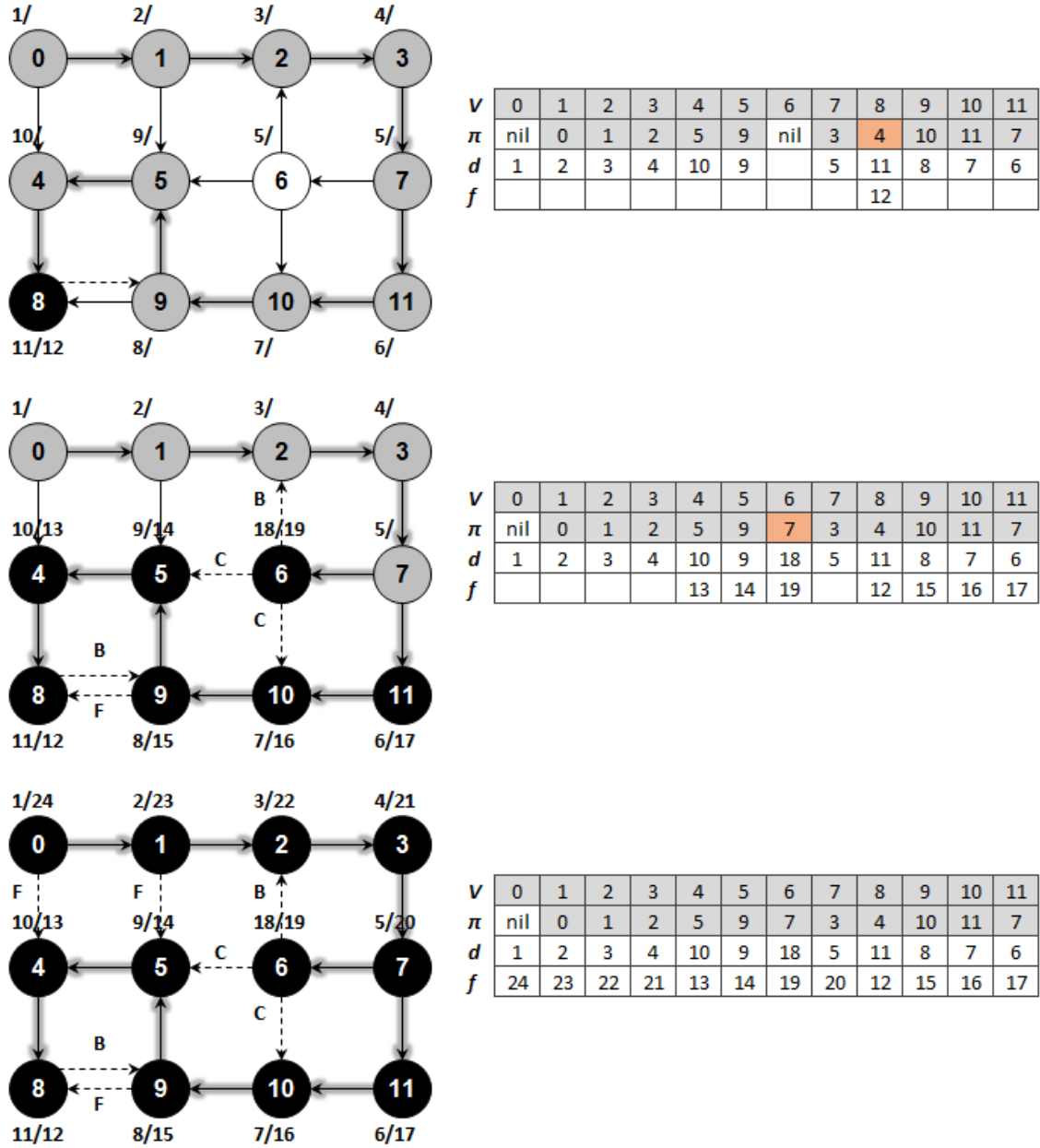


Figura 6: Rastreamento da DFS na lista de adjacências dada.

**7. (CRLS 22.3-1)** Desenhe uma tabela  $3 \times 3$ , com as linhas e colunas indexadas pelas cores branco, cinza e preto. Em cada entrada  $(i, j)$ , indique se, em qualquer ponto durante uma DFS de um grafo orientado, pode existir um arco de um nó de cor  $i$  para um nó de cor  $j$ . Para cada arco possível, indique as classificações que ele pode ter (de árvore, de retorno, para frente, cruzado). Faça um segundo quadro considerando um grafo não orientado.

As tabelas 1 e 2 mostram as classificações dos arcos para o grafo orientado e não orientado, respectivamente.

As siglas significam *Tree*, *Back*, *Cross* e *Forward edge*.

	White	Gray	Black
White	x	x	x
Gray	T	B	F/C
Black	x	x	B

Tabela 1: Classificação dos arcos no grafo orientado para a DFS.

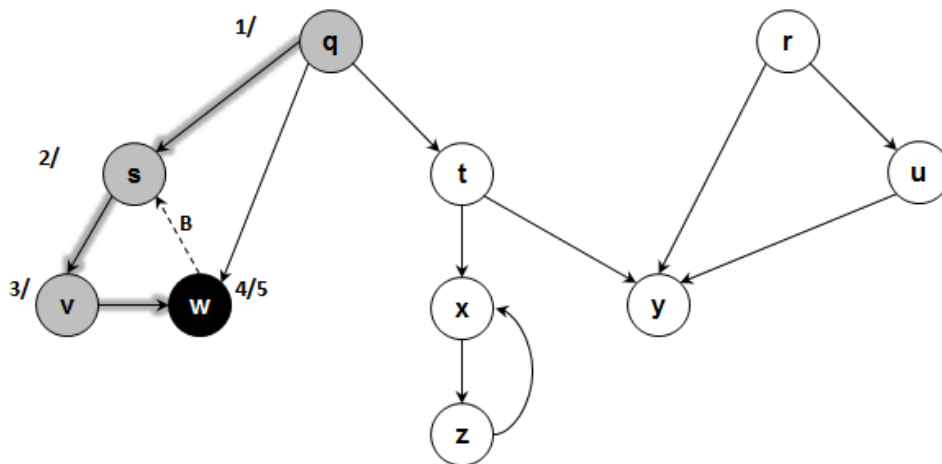
	White	Gray	Black
White	x	x	x
Gray	T	B	x
Black	x	B	B

Tabela 2: Classificação dos arcos no grafo não orientado para a DFS.

**8. (CRLS 22.3-2)** Mostre como a DFS funciona no grafo da Figura 22.6 do CLRS (segunda edição). Assuma que o laço das linhas 5-7 da DFS visitam os vértices em ordem alfabética, e que os vértices se encontram em ordem alfabética nas listas de adjacências. Mostre os valores de  $d$  e  $f$  para cada vértice ao final da DFS.

**Resposta:** A figura 7 mostra o rastreamento da DFS em 3 momentos distintos: quando todos os vértices adjacentes à  $w$  são visitados, todos os vértices adjacentes à  $t$  são visitados e a árvore com todas as chamadas recursivas concluídas, respectivamente.

Os valores  $d$  e  $f$ , bem como o antecessor de cada vértice dado por  $\pi$  estão na tabela de rastreamento abaixo de cada imagem. Os tipos de arestas também estão devidamente destacados.



$v$	q	r	s	t	u	v	w	x	y	z
$\pi$	nil	nil	q	nil	nil	s	v	nil	nil	nil
$d$	1		2			3	4			
$f$							5			

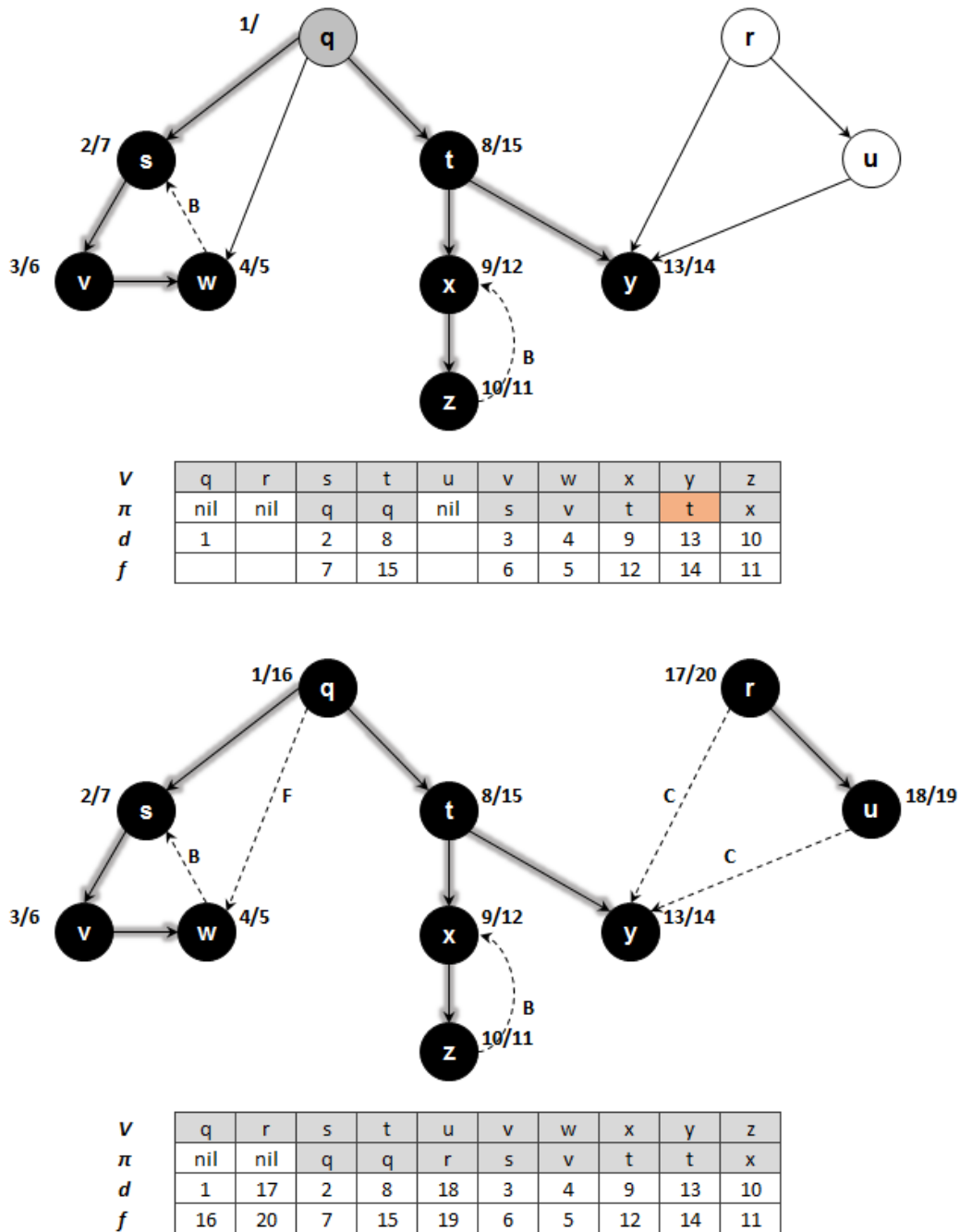


Figura 7: Rastreamento da DFS na figura 22.6 do CLRS.

**9. (CRLS 22.3-7)** Mostre um contraexemplo para a conjectura que se existe um caminho de  $u$  a  $v$  em um grafo orientado  $G$ , e se  $d[u] < d[v]$  numa DFS de  $G$ , então  $v$  é descendente de  $u$  na floresta DFS produzida.

Podemos observar a própria árvore à esquerda da figura 22.5 (c) do CLRS como um contraexemplo. Seja a DFS produzida a partir de  $s$ , se tomarmos os vértices  $x$  e  $w$ ,  $d[x] < d[w]$ , existe um caminho de  $x$  a  $w$ , mas  $w$  não é descendente de  $x$ .

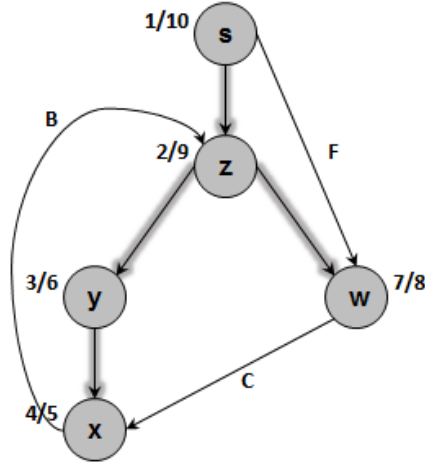


Figura 8: Contraexemplo utilizando parte do grafo da figura 22.5 (c) do CLRS.

**10. (CRLS 22.3-8)** Mostre um contraexemplo para a conjectura que se existe um caminho de  $u$  a  $v$  em um grafo orientado  $G$ , então qualquer DFS deve resultar em  $d[v] \leq f[u]$ .

A figura 9 mostra um contraexemplo da conjectura. Temos um caminho de  $u$  a  $v$  no grafo, porém, aplicando a DFS a partir de  $s$ , temos que  $d[v] > f[u]$ .

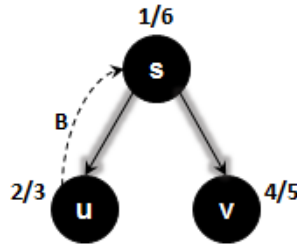


Figura 9: Contraexemplo da conjectura dada.

**11. (CRLS 22.3-10)** Mostre como um vértice  $u$  num grafo orientado pode terminar sozinho numa árvore de uma floresta DFS mesmo tendo arcos saindo e entrando dele em  $G$ .

A figura 10 mostra um exemplo onde o vértice  $u$  pode ficar sozinho numa árvore de uma floresta DFS gerada a partir do vértice  $s$ .

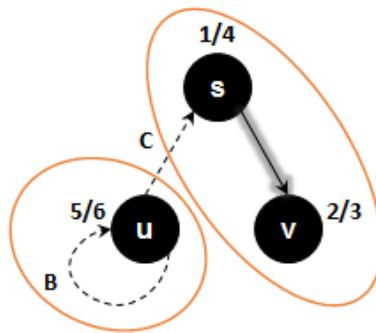


Figura 10: Exemplo onde o vértice  $u$  pode ficar isolado.

Um outro exemplo pode ser visto na figura 11, sendo que cada árvore é formada por um único vértice, já que a busca começa em  $v$ .

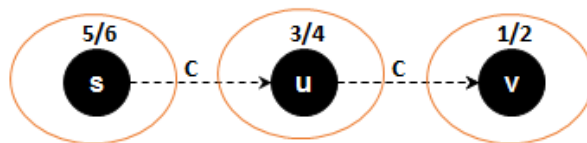


Figura 11: Segundo exemplo onde o vértice  $u$  pode ficar isolado.

**13.** Escreva uma generalização comum das buscas em largura e em profundidade. Sua função deve usar uma estrutura de dados auxiliar que pode operar como fila ou como pilha. Se a estrutura operar como fila, a função executa busca em largura, e se operar como pilha, a função executa busca em profundidade.

**Resposta:** Basta efetuarmos algumas alterações na versão iterativa da ITERATIVE-DFS para que a estrutura de dados opere de forma tal que ambas as buscas são atendidas. Basicamente, a ordem em que um vértice descoberto é incluído na pilha: se for busca em profundidade, incluímos no topo da pilha, se for em largura, incluímos na base (PUSH-LEFT).

No caso de busca em largura, a sub-rotina GRAYEN atualiza  $d[v] = d[u] + 1$ , considerando o caso onde o vértice é a origem da busca ( $d[v] = 0$ ). Além disso, BLACKEN só atualiza  $f[u]$  se for uma busca em profundidade.

**Consumo de tempo:** As alterações não afetam o consumo de tempo obtido na ITERATIVE-DFS, permanecendo  $O(V + E)$ , o que mantém o comportamento original tanto da DFS, quanto da BFS.

GFS( $G, type$ )

```

1  // let  $S$  be an empty stack
2  for each vertex  $u \in V[G]$ 
3       $color[u] = \text{WHITE}$ 
4       $\pi[u] = \text{NIL}$ 
5       $n = Adj[u].length$ 
6      for  $i = n$  to 1
7           $v = Adj[u][i]$ 
8          ENQUEUE( $Q_{adj}[u], v$ )
9   $time = 0$ 
10 for each vertex  $u \in V[G]$ 
11     if  $color[u] == \text{WHITE}$ 
12         GRAYEN( $u, \text{NIL}$ )
13         GFS-VISIT( $u$ )

```

GFS-VISIT( $s$ )

```

1  PUSH( $S, s$ )
2  while  $S \neq \emptyset$ 
3       $u = \text{TOP}(S)$ 
4      if  $Qadj[u] \neq \emptyset$ 
5           $v = \text{DEQUEUE}(Qadj[u])$ 
6          if  $color[v] == \text{WHITE}$ 
7              GRAYEN( $v, u$ )
8              if  $type == \text{BFS}$ 
9                  PUSH-LEFT( $S, v$ )
10             else
11                 PUSH( $S, v$ )
12         else
13             BLACKEN( $u$ )
14             POP( $S$ )

```

GRAYEN( $v, u$ )

```

1   $color[v] = \text{GRAY}$ 
2   $\pi[v] = u$ 
3  if  $type == \text{BFS}$ 
4      if  $u == \text{NIL}$  // it is a source vertex of a component
5           $d[v] = 0$ 
6      else
7           $d[v] = d[u] + 1$ 
8  else
9       $time = time + 1$ 
10      $d[v] = time$ 

```

BLACKEN( $u$ )

```

1   $color[u] = \text{BLACK}$ 
2  if  $type == \text{DFS}$ 
3       $time = time + 1$ 
4       $f[u] = time$ 

```

**14.** Escreva um algoritmo que decida se um grafo é conexo. Analise o seu consumo de tempo.

**Resposta:** Um grafo é conexo se e somente se, para cada par  $s$  e  $t$  de seus vértices, existe um caminho com origem  $s$  e término  $t$ .

Podemos fazer uma alteração no algoritmo da DFS para contar o número de componentes conexas do grafo e executar a DFS usando cada vértice  $u \in V[G]$  como origem da busca. Se houver uma única componente conexa para a busca a cada execução, o grafo é conexo.

Os vértices estão organizados em uma pilha, utilizamos as rotinas POP e PUSH-LEFT, para remover um elemento da última posição da pilha e inseri-lo na primeira posição, respectivamente, de modo que todos os vértices sejam origem da busca uma vez.

**Consumo de tempo:** A mudança em CONNECTED-DFS não muda o comportamento assintótico original do algoritmo, que permanece  $\Theta(V + E)$ .

A criação da pilha na linha 2 na rotina GRAPH-CONNECTED toma tempo  $\Theta(V)$ . Já as operações na pilha gastam  $\Theta(1)$ , bem como as demais instruções. Como nós fazemos a busca uma vez para cada vértice, temos que o consumo de tempo total será  $\Theta(V(V + E))$ .

GRAPH-CONNECTED( $G$ )

```

1   $n = |V[G]|$ 
2   $S = V[G]$  //  $S$  is a stack with the vertices of  $G$ 
3  while  $n > 1$ 
4       $count = \text{CONNECTED-DFS}(G)$ 
5      if  $count > 1$ 
6          return FALSE
7       $u = \text{POP}(S)$ 
8       $\text{PUSH-LEFT}(S, u)$ 
9       $n = n - 1$ 
10 return TRUE

```

CONNECTED-DFS( $G$ )

```

1  for each vertex  $u \in V[G]$ 
2       $color[u] = \text{WHITE}$ 
3       $\pi[u] = \text{NIL}$ 
4   $time = 0$ 
5   $count = 0$ 
6  for each vertex  $u \in V[G]$ 
7      if  $color[u] == \text{WHITE}$ 
8           $count = count + 1$ 
9           $\text{DFS-VISIT}(u)$ 
10 return count

```

**15.** Escreva um algoritmo que determine o número de componentes conexas de um grafo. Analise o seu consumo de tempo.

**Resposta:** A rotina CONNECTED-DFS do exercício 7-14 já retorna a quantidade de componentes conexas de um grafo  $G$ .

O consumo de tempo é o mesmo da DFS original, ou seja,  $\Theta(V + E)$ .

**16.** Um grafo  $G = (V, E)$  é bipartido se seu conjunto de vértices  $V$  pode ser bipartido em dois conjuntos disjuntos de vértices  $A$  e  $B$  e toda aresta de  $E$  tem uma ponta em  $A$  e outra em  $B$ . Escreva um algoritmo que, dado um grafo, determine se o grafo é ou não bipartido. Analise o seu consumo de tempo.

**Resposta:** Podemos efetuar uma alteração na BFS, de modo que quando um vértice  $u$  encontra um vértice  $v$  que já foi visitado, ou seja, já está GRAY, verificamos se a profundidade tanto de  $u$  quanto de  $v$  é par, ou se ambas são ímpar.

Isso implica que  $d[u]$  e  $d[v]$  têm a mesma paridade e, portanto, o grafo **não é bipartido**.



**Consumo de Tempo:** A modificação não altera o comportamento assintótico original da BFS que permanece  $O(V + E)$ .

BFS-PARTITE( $G, s$ )

```

1  for each vertex  $u \in V[G] - \{s\}$ 
2       $u.color = \text{WHITE}$ 
3       $u.d = \infty$ 
4       $u.partition = 0$ 
5   $s.color = \text{GRAY}$ 
6   $s.d = 0$ 
7   $s.partition = 1$ 
8   $Q = \emptyset$ 
9  ENQUEUE( $Q, s$ )
10 while  $Q \neq \emptyset$ 
11      $u = \text{DEQUEUE}(Q)$ 
12     for each  $v \in G.Adj[u]$ 
13         if  $u.partition == v.partition$ 
14             return FALSE
15         else
16             if  $v.color == \text{WHITE}$ 
17                  $v.color = \text{GRAY}$ 
18                  $v.d = u.d + 1$ 
19                  $v.partition = 3 - u.partition$ 
20                 ENQUEUE( $Q, v$ )
21      $u.color = \text{BLACK}$ 
22 return TRUE

```

**17. (CLRS 22.2-8)** Dada uma árvore  $T = (V, E)$ , o diâmetro de  $T$  é o número  $\max\{d(u, v) : u, v \in V\}$ , onde  $d(u, v)$  é a distância entre  $u$  e  $v$  em  $T$ . Escreva um algoritmo que, dado  $T$ , determine o diâmetro de  $T$ . Analise o seu consumo de tempo.

**Resposta:** Conforme enunciado, o diâmetro de uma árvore  $T$  é a distância mais longa entre quaisquer dois nós  $u$  e  $v$  da árvore.

Para calcular o diâmetro podemos executar a BFS usando cada vértice  $v \in V$  como fonte da busca, retornando o maior valor de  $d$  para cada busca. A maior distância será, então, o diâmetro de  $T$ .

A linha 19 deve retornar o número de vértices que tem o caminho mais longo de  $u$  a  $v$ . Repare que somamos 1 devido à inicialização de  $s.d = 0$ .

**Consumo de Tempo:** A inclusão da linha 18 não muda o consumo de tempo da BFS, que continua  $O(V + E)$ . Como executamos a BFS uma vez para cada vértice no *loop* da linha 3 da rotina TREE-DIAMETER, temos que o tempo total será  $O(V(V + E))$ .

TREE-DIAMETER( $T$ )

```
1  diameter = 0
2  for each  $u \in T$ 
3       $max\_d = \text{BFS}(T, u)$ 
4      if  $max\_d > diameter$ 
5           $diameter = max\_d$ 
6  return  $diameter$ 
```

BFS( $T, s$ )

```
1  for each vertex  $u \in V[T] - \{s\}$ 
2       $u.color = \text{WHITE}$ 
3       $u.d = \infty$ 
4       $u.\pi = \text{NIL}$ 
5   $s.color = \text{GRAY}$ 
6   $s.d = 0$ 
7   $s.\pi = \text{NIL}$ 
8   $Q = \emptyset$ 
9  ENQUEUE( $Q, s$ )
10 while  $Q \neq \emptyset$ 
11      $u = \text{DEQUEUE}(Q)$ 
12     for each  $v \in T.Adj[u]$ 
13         if  $v.color == \text{WHITE}$ 
14              $v.color = \text{GRAY}$ 
15              $v.d = u.d + 1$ 
16              $v.\pi = u$ 
17             ENQUEUE( $Q, v$ )
18      $u.color = \text{BLACK}$ 
19 return  $u.d + 1$ 
```

## Lista 8

**1. (CRLS 23.1-1)** Seja  $e$  uma aresta de custo mínimo em um grafo  $G$  com custos nas arestas. É verdade que  $e$  pertence a alguma MST de  $G$ ? É verdade que  $e$  pertence a toda MST de  $G$ ?

**Resposta:** Seja  $A$  um subconjunto de arestas de alguma MST  $T$ , tal que  $(u, v) \notin A$ . Para escolher uma aresta para ser adicionada em  $A$ , todas as arestas que atravessam um corte  $(S, V - S)$  são consideradas. Como o corte deve respeitar  $A$  e a aresta  $(u, v)$  tem peso mínimo, ela será escolhida para ser incluída em  $A$ , o que dá origem a uma nova MST  $T'$ , onde  $A \cup \{(u, v)\} \subseteq T'$ .

**É verdade que  $e$  pertence a toda MST de  $G$ ?** Não é verdade. Se tomarmos uma aresta  $(u, v) \in E$  de uma MST  $T$  que tenha custo mínimo  $k$  e substituirmos por outra  $(u, w)$  que não está em  $T$  de custo  $k = l$ , teremos uma nova MST  $T'$ , ou seja, é o caso onde há empate na escolha da aresta segura para ser incluída na árvore. Portanto,  $e$  não pertence a toda MST de  $G$ .

Na figura 12, basta substituirmos a aresta  $(b, c)$  pela  $(b, d)$  e teremos uma nova MST de mesmo custo mínimo.

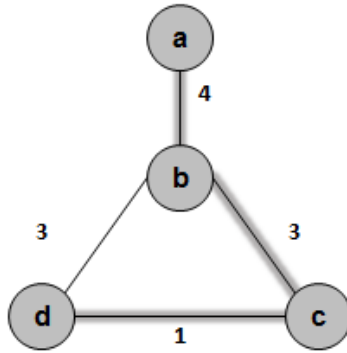


Figura 12: MST com mais de uma aresta de mesmo custo.

**2.** Suponha que os custos das arestas de um grafo conexo são distintos dois a dois (ou seja, não há duas arestas com o mesmo custo). Mostre que o grafo tem uma única MST.

**Resposta:** Seja  $m$  a quantidade de arestas em um grafo ponderado  $G(V, E, w)$ . Como não há arestas com pesos iguais, temos que os pesos são estritamente crescentes, ou seja,  $w_1 < w_2 < w_3 < \dots < w_m$ .

### Prova por contradição:

Vamos assumir que existem duas MST's  $T$  e  $T'$  no grafo. Seja  $e_1$  uma aresta de menor custo que aparece em uma dessas MST's. Sem perda de generalidade, digamos que  $e_1 \in T$ . Como  $T'$  é uma MST,  $T' \cup \{e_1\}$  contém um ciclo  $C$  e, portanto, uma das arestas deste ciclo, digamos  $e_2$ , não está em  $T$ .

Note que  $w(e_1) < w(e_2)$  e  $T'' = T' \cup \{e_1\} \setminus \{e_2\}$  é uma árvore geradora. O peso total de  $T''$  é menor que o peso total de  $T'$ , mas isso é uma contradição, já que nós assumimos que  $T'$  é uma MST. Em outras palavras, para que  $T$  e  $T'$  fossem MST's, deveríamos ter  $w(e_1) = w(e_2)$ , mas isso é impossível, já que os pesos são diferentes.

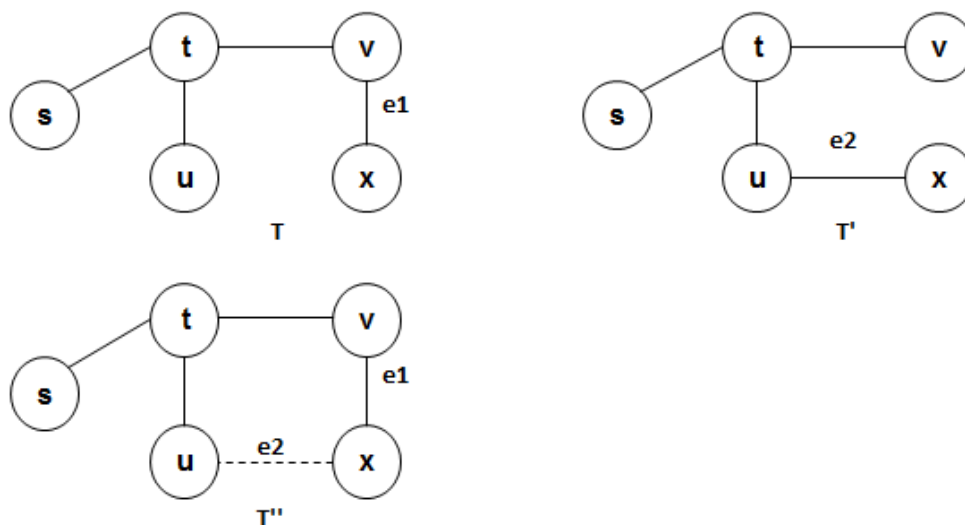


Figura 13: Exemplo de grafo com uma única MST com pesos nas arestas diferentes.

**3.** Suponha que os custos das arestas de um grafo conexo são distintos dois a dois. Seja  $C$  um ciclo não trivial. É verdade que a aresta de custo mínimo em  $C$  pertence à (única) MST do grafo?

**Resposta:** Sim, é verdade. Seja  $e$  a aresta de custo mínimo em  $C$ . Se  $e$  não estivesse na única MST do grafo, ao removermos qualquer outra aresta do ciclo  $C$  de custo maior para incluir  $e$ , teríamos uma MST de custo menor.

**4. (CRLS 23.1-2)** Prove ou desprove a seguinte afirmação: Dado um grafo  $G$  com pesos nas arestas, um conjunto de arestas  $A$  de  $G$ , e um corte que respeita  $A$ , toda aresta que cruza o corte e que é segura para  $A$  tem peso mínimo dentre todas as arestas desse corte.

**Resposta:** Seja  $A$  formado pelas arestas  $\{(t, s), (t, u)\}$ , como pode ser visto na figura 14.

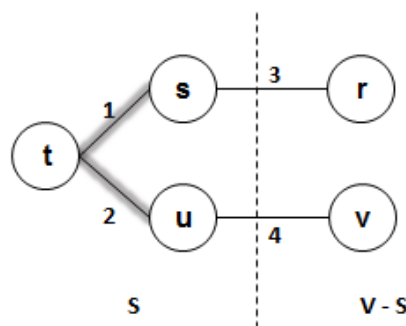


Figura 14: Exemplo de grafo com uma única MST contendo aresta de não peso mínimo no corte.

O corte  $(S, V - S)$  respeita  $A$ .  $(u, v)$  é uma aresta que atravessa o corte  $(S, V - S)$  e é segura para  $A$ , ou seja,  $A \cup \{(u, v)\} \subseteq T$ , porém, não é de custo mínimo (*light edge*).

**5. (CRLS 23.1-3)** Prove ou desprove a seguinte afirmação: Se uma aresta está contida em alguma MST, então tem peso mínimo dentre todas as arestas de algum corte no grafo.

**Resposta:** Seja  $T$  uma MST que contém a aresta  $(u, v)$ . Se tirarmos  $(u, v)$  da árvore, teremos um corte  $(S, V - S)$  que particiona os vértices em dois conjuntos disjuntos  $S$  e  $V - S$ . A aresta  $(u, v)$  atravessa esse corte e ela é uma aresta de custo mínimo pois, do contrário, outra aresta de custo menor poderia ser adicionada em  $T$  substituindo  $(u, v)$ , o que produziria uma outra MST  $T'$ , onde  $w(T') < w(T)$ , contradizendo o fato de que  $T$  é uma MST.

Portanto,  $(u, v)$  é uma aresta de custo mínimo para o corte  $(S, V - S)$ .

**5.1. (CLRS 23.1-4)** Dê um exemplo simples de um grafo tal que o conjunto de arestas  $\{(u, v) : \text{existe um corte } (S, V - S) \text{ tal que } (u, v) \text{ é uma aresta de custo mínimo atravessando o corte}\}$  não forma uma MST.

**Resposta:** Basta pensarmos em um triângulo com 3 vértices conectados por arestas de mesmo peso  $w(e_1) = w(e_2) = w(e_3)$ . Independente do corte, nós sempre teremos uma aresta de custo mínimo que não estará na MST pois, do contrário, teríamos um ciclo.

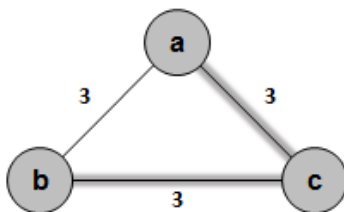


Figura 15: Exemplo de grafo onde uma aresta de custo mínimo não pertence à MST.

**6. (CRLS 23.1-7)** Prove que se todos os pesos nas arestas são positivos, então qualquer subconjunto de arestas que conectam todos os vértices e tem peso total mínimo forma uma árvore. A propriedade vale se alguns pesos são negativos?

**Resposta:**

**7.** Seja  $T$  uma MST de um grafo com pesos positivos e distintos nas arestas. Suponha que substituamos cada peso pelo seu quadrado. Verdadeiro ou falso:  $T$  ainda é uma MST para o novo grafo.

**Resposta:** Verdadeiro. Substituir os pesos das arestas em um grafo ponderado  $G$  pelo quadrado dos mesmos não muda a MST  $T$  do grafo.

**Prova por contradição:**

Vamos assumir que a alteração dos pesos  $w$  muda a MST  $T$  de  $G$  para uma outra  $T'$  em  $G'$ , já que pelo menos uma aresta, digamos  $e$ , de  $T$  deve ser substituída por uma outra  $e'$  na nova árvore  $T'$  de  $G'$  com  $w^2$ . Isso implica que  $w(e) < w(e')$  e  $w(e)^2 \geq w(e')^2$ , o que é uma contradição.

**8.** Dado um grafo conexo  $G$ , dizemos que duas MSTs  $T$  e  $T'$  são vizinhas se  $T$  contém exatamente uma aresta que não está em  $T'$ , e  $T'$  contém exatamente uma aresta que não

está em  $T$ . Vamos construir um novo grafo (muito grande)  $\mathcal{H}$  como segue. Os vértices de  $\mathcal{H}$  são as  $MST$ s de  $G$ , e existe uma aresta entre dois vértices em  $\mathcal{H}$  se os correspondentes  $MST$ s são vizinhas. É verdade que  $\mathcal{H}$  sempre conexo? Prove ou dê um contra-exemplo

**Resposta:** Seja  $G$  um grafo e  $\mathcal{H}$  o grafo que tem como vértices todas  $MST$ s de  $G$  e dois vértices de  $\mathcal{H}$  são adjacentes se e somente se as  $MST$ s que eles representam são vizinhas. Queremos provar que  $\mathcal{H}$  é conexo.

Se para qualquer par de  $MST$ s  $T$  e  $T'$  de  $G$ , as árvores são vizinhas então não temos nada a provar,  $\mathcal{H}$  é conexo.

Se existem  $T$  e  $T'$  não vizinhos então achamos um caminho de  $T$  a  $T'$  em  $\mathcal{H}$  da seguinte forma.

Sabemos que uma árvore tem  $n - 1$  vértices para  $n = |V(G)|$  e se inserimos uma aresta a mais nessa árvore geraremos um ciclo, então podemos montar um caminho de  $T$  a  $T'$  em  $\mathcal{H}$ , inserindo uma aresta  $e'$  em  $T$  tal que  $e' \in E(T')$ ,  $e' \notin E(T)$  e  $e' \in E(G)$  formando assim um ciclo em  $T$  então removemos uma aresta  $e$  desse ciclo em  $T$ , tal que  $e \in E(T)$ ,  $e \notin E(T')$  e  $e \in E(G)$ , gerando assim uma  $MST$   $T''$  mais parecida com  $T'$ , note que isso é possível por que tanto  $e$  como  $e'$  pertencem a uma  $MST$  e portanto tem pesos mínimos no ciclo formado. Repetindo esse processo chegaremos a uma  $MST$   $T^*$  que possui apenas uma aresta diferente de  $T'$ , então concluímos que  $T'$  e  $T^*$  são vizinhas. Portanto podemos concluir que existe um caminho entre  $T$  e  $T'$  em  $\mathcal{H}$  e como isso é verdade para todos pares de  $MST$ s  $T$  e  $T'$  de  $\mathcal{H}$ , logo concluímos que  $\mathcal{H}$  é conexo.

**9.** Seja  $G$  um grafo conexo com custos nas arestas. Uma aresta  $e$  de  $G$  é crítica se o aumento do custo de  $e$  faz com que o custo de uma  $MST$  de  $G$  também aumente. Escreva uma função que determine todas as arestas críticas de  $G$  em tempo  $O(m \log n)$

**Resposta:** Seja  $D_A$  a floresta representada pela estrutura de conjuntos disjuntos do algoritmo de Kruskal, e  $T, T' \in D_A$  árvores mantida nessa floresta. Uma aresta  $(u, v)$  tal que  $u \in V(T)$  e  $v \in V(T')$  é crítica se e somente se  $(u, v)$  é uma *light edge* que respeita  $A$  e não exista outra *light edge* que junte  $T$  e  $T'$  em  $D_A$ .

**Prova:**

→ se  $(u, v)$  é crítica então  $(u, v)$  é uma *light edge* e não existe nenhuma outra *light edge* que junte  $T$  e  $T'$  em  $D_A$ .

Verdade por que caso existisse outra *light edge*  $(u', v')$  então poderíamos utiliza-la mantendo o mesmo peso da  $MST$  independente do peso de  $(u, v)$ , ou seja, poderíamos aumentar o peso de  $(u, v)$  sem aumentar o peso de uma  $MST$  de  $G$ .

← se  $(u, v)$  é a única *light edge* que junta as árvores  $T$  e  $T'$  então  $(u, v)$  é uma aresta crítica.

Trivialmente verdade, já que para montar uma  $MST$  precisamos utilizar  $(u, v)$  então se aumentarmos o peso de  $(u, v)$  ou escolhermos outra aresta  $(u', v')$  aumentaremos o peso de qualquer  $MST$  de  $G$ , já que  $(u', v')$  tem peso maior que  $(u, v)$  já que por hipótese  $(u, v)$  é a única *light edge* que junta  $T$  e  $T'$ .

Portanto ao juntar dois componentes no algoritmo de Kruskal podemos ver se a aresta é crítica ou não conforme algoritmo CRITICAL-KRUSKAL.

CRITICAL-KRUSKAL( $G$ )

```

1   $l = NIL, A = \emptyset, C = \emptyset$ 
2  ordene as arestas de  $E(G)$  em ordem crescente de peso  $w_e$ 
3  for each  $v \in V(G)$ 
4      MAKE-SET( $v$ )
5  for each  $uv \in E(G)$  in the sorted edges
6      if FIND-SET( $u$ )  $\neq$  FIND-SET( $v$ )
7           $A = A \cup \{uv\}$ 
8          UNION( $uv$ )
9          if  $l \neq NIL$ 
10              $C = C \cup \{l\}$ 
11              $l = uv$ 
12      else
13          if  $l \neq NIL$  and  $w(l) = w(uv)$ 
14              $l = NIL$ 
15  return  $C$ 

```

O algoritmo mantém a mesma estrutura de dados do que o Kruskal a linha 6, acha se a aresta sendo analisada estão na mesma árvore se sim, junta e guarda a aresta anterior é *light edge* que junta  $uv$  (já que as arestas estão ordenadas), caso contrário se a aresta não junta dois componentes e tem o mesmo peso então a aresta  $l$  não é crítica e recebe  $NIL$ , para não ser incluída em  $C$ .

**11.** Suponha que temos um grafo  $G$  com pesos nas arestas. Verdadeiro ou falso: Para qualquer  $MST$   $T$  de  $G$ , existe uma execução válida do algoritmo de Kruskal que produz  $T$  como saída? Dê uma prova ou um contra-exemplo.

**Resposta:** Verdadeiro. Vamos assumir por contradição que existe uma  $MST$   $T'$  que nunca será gerada por uma execução do algoritmo de Kruskal. Então existe uma aresta  $(u, v) \in E(T')$  que liga dois conjuntos da estrutura UNIONFIND  $D_A$  mantida pelo algoritmo de Kruskal. Então devemos analisar 2 casos.

1. Se  $(u, v)$  é uma aresta de peso mínimo que liga o conjunto que contém  $u$  com o conjunto que contém  $v$  então existe uma ordenação em que o algoritmo de Kruskal gera uma  $MST$  que a contém
2. Se  $(u, v)$  não possui peso mínimo entre todas as arestas que ligam o conjunto que contém  $u$  com o conjunto que contém  $v$ , então podemos diminuir o peso de  $T'$  escolhendo uma aresta de menor peso. Que é uma contradição já que  $T'$  não é uma  $MST$ .

Note que isso é verdade para qualquer aresta  $(u, v)$ , portanto  $T'$  não existe. Que é uma contradição. Logo podemos concluir que o algoritmo de Kruskal pode gerar qualquer árvore geradora mínima de um grafo.

**13 (CLRS Ex. 23.2-4,5)** Suponha que todos os pesos num grafo com  $n$  vértices são inteiros no intervalo de 1 até  $n$ . Descreva como otimizar os algoritmos de Kruskal e Prim

nesta situação. O que acontece se os pesos são intervalo de 1 até  $W$ ?

**Resposta:** Para o algoritmo de Kruskal utilizando a estrutura de conjuntos disjuntos utilizando UNION-BY-RANK e compressão de caminhos o tempo gasto assintoticamente é definido pela ordenação de arestas, no começo do algoritmo, se sabemos que o peso máximo das arestas é  $n$ , então podemos usar o COUNTING-SORT e diminuir o tempo de  $O(m \lg n)$  para  $O(m + n)$ , já que o laço abaixo da ordenação gasta tempo linear, se o peso máximo é  $W$  então utilizando o COUNTING-SORT o algoritmo de Kruskal gastará tempo  $O(m + W)$ . Como o algoritmo de Prim utiliza uma fila de prioridades que normalmente é implementada como uma min-heap não é possível melhorar o tempo assintótico do algoritmo.

**15.** O diâmetro de um grafo é o máximo das distâncias entre dois vértices. Escreva código que usa o algoritmo de Dijkstra para calcular o diâmetro de um grafo.

**Resposta:** Para calcular o diâmetro de um grafo  $G$  podemos aplicar o DIJKSTRA usando cada vértice  $v \in V[G]$  como fonte da busca, retornando o maior valor de  $d$  para cada busca. A maior distância será, então, o diâmetro de  $G$ .

GRAPH-DIAMETER( $G, w$ )

```

1  diameter = 0
2  for each  $u \in V[G]$ 
3       $max\_d = \text{DIJKSTRA-DIAMETER}(G, w, u)$ 
4      if  $max\_d > diameter$ 
5           $diameter = max\_d$ 
6  return diameter
```

DIJKSTRA-DIAMETER( $G, w, s$ )

```

1  INITIALIZE-SINGLE-SOURCE( $G, s$ )
2   $S = \emptyset$ 
3   $Q = V[G]$ 
4  while  $Q \neq \emptyset$ 
5       $u = \text{EXTRACT-MIN}(Q)$ 
6       $S = S \cup \{u\}$ 
7      for each  $v \in Adj[u]$ 
8          RELAX( $u, v, w$ )
9  return  $u.d$  // the last  $u$  removed from  $Q$ 
```

**Consumo de Tempo:** A inclusão da linha 9 no DIJKSTRA-DIAMETER não muda o consumo de tempo do DIJKSTRA, que continua  $O(V \lg E)$ . Como executamos uma vez para cada vértice no *loop* da linha 2 da rotina GRAPH-DIAMETER, temos que o tempo total será  $O(V(V \lg E))$ .

**16.** Considere um dígrafo (grafo orientado) com custos positivos associados aos vértices. O custo de um caminho num tal dígrafo é a soma dos custos dos vértices do caminho. Queremos encontrar um caminho de custo mínimo dentre os que começam num vértice  $s$  e terminam num vértice  $t$ . Adapte o algoritmo de Dijkstra para resolver esse problema.



**Resposta:** Basta pararmos o algoritmo de Dijkstra quando o vértice  $t$  for encontrado. Como a estratégia do algoritmo é gulosa, ao retirarmos o vértice  $t$  da fila de prioridade, já teremos o caminho mínimo de  $s$  a  $t$ .

DIJKSTRA-SINGLE-PAIR( $G, w, s, t$ )

```

1  INITIALIZE-SINGLE-SOURCE( $G, s$ )
2   $S = \emptyset$ 
3   $Q = V[G]$ 
4  while  $Q \neq \emptyset$ 
5       $u = \text{EXTRACT-MIN}(Q)$ 
6       $S = S \cup \{u\}$ 
7      if  $u == t$ 
8          return
9      for each  $v \in \text{Adj}[u]$ 
10         RELAX( $u, v, w$ )

```

**Consumo de Tempo:** A inclusão das linhas 7-8 não muda o comportamento assintótico original do DIJKSTRA, que continua que continua  $O(V \lg E)$ .

**18. (CLRS 24.3-2)** Mostre que o algoritmo de Dijkstra pode produzir resultados errados se o dígrafo tiver arcos de custo estritamente negativo.

**Resposta:** Um exemplo para dígrafos pode ser visto na figura 16.

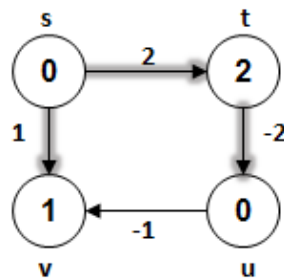


Figura 16: Dígrafo com arcos estritamente negativos.

A execução de todas as iterações do DIJKSTRA produz o caminho mínimo destacado pelas arestas sombreadas. O valor de  $d[v]$  está errado, pois existe um caminho mínimo de  $s \rightsquigarrow v$  de custo menor que 1, por exemplo, o caminho  $p' = s \rightsquigarrow t \rightsquigarrow u \rightsquigarrow v$ , onde  $w(p') = -1 < 1$ .

## Lista 9

1. Defina *algoritmo eficiente*. Defina *problema de decisão*. Defina *verificador polinomial* para SIM. Defina *verificador polinomial* para NÃO. Defina as classes P, NP e coNP. Dê um exemplo de um problema em cada uma dessas classes, justificando a sua pertinência à classe.

### Resposta:

*Algoritmo eficiente*: um algoritmo é eficiente se ele resolve um dado problema em tempo polinomial, ou seja, se o seu consumo de tempo no pior caso é limitado por um polinômio no tamanho das instâncias do problema. Em outras palavras, o algoritmo é polinomial se ele resolve o problema em tempo  $O(n^k)$  para alguma constante  $k$ .

*Problema de decisão*: aquele cuja solução é uma resposta do tipo SIM/NÃO.

*Verificador polinomial* para SIM a um problema  $\pi$  é um algoritmo polinomial  $A$  tal que

1. para qualquer instância  $X$  de  $\pi$  com resposta SIM, existe um  $Y$  em  $\Sigma^*$ , tal que  $A(X, Y)$  devolve SIM
2. para qualquer instância  $X$  de  $\pi$  com resposta NÃO, existe um  $Y$  em  $\Sigma^*$ , tal que  $A(X, Y)$  devolve NÃO
3.  $A$  consome tempo polinomial em  $|X|$

*Verificador polinomial* para NÃO a um problema  $\pi$  é um algoritmo polinomial  $A$  tal que

1. para qualquer instância  $X$  de  $\pi$  com resposta **NÃO**, existe um  $Y$  em  $\Sigma^*$ , tal que  $A(X, Y)$  devolve SIM
2. para qualquer instância  $X$  de  $\pi$  com resposta **SIM**, existe um  $Y$  em  $\Sigma^*$ , tal que  $A(X, Y)$  devolve NÃO
3.  $A$  consome tempo polinomial em  $|X|$

Onde  $Y$  é um certificado para SIM/NÃO da instância  $X$  de  $\pi$ .

*Classe P*: conjunto dos problemas de decisão tratáveis, isto é, que são solúveis em tempo polinomial. **Exemplo**: problema da mochila fracionária está em  $P$ , já que pode ser resolvido em tempo  $O(n \lg n)$ .

*Classe NP*: conjunto dos problemas de decisão que possuem um verificador polinomial para a resposta SIM, ou seja, se existe um algoritmo que, ao receber uma instância  $X$  de  $\pi$  e uma suposta solução  $S$  de  $X$ , responde SIM ou NÃO conforme  $S$  seja ou não solução de  $X$ , e consome tempo limitado por um polinômio no tamanho de  $X$  para responder SIM. **Exemplo**: O problema do ciclo hamiltoniano está em NP, pois é possível verificar em tempo polinomial se uma dada permutação dos vértices é um ciclo do grafo.

*Classe coNP*: consiste nos problemas de decisão que são complementos de problemas de decisão em NP, ou seja, problemas para os quais existe um certificado (curto) para a resposta NÃO. **Exemplo**: O problema do quadrado perfeito está em coNP, pois é possível verificar em tempo polinomial se um certo número natural  $n$  **não** é um quadrado perfeito. Em outras palavras, basta exibir um número natural  $k$  tal que  $k^2 < n < (k + 1)^2$ . Um tal  $k$  é um certificado de que  $n$  não é um quadrado perfeito.

2. Mostre que SAT está em NP. (Essa é a parte fácil do teorema de Cook.)

**Resposta:**

3. Uma coleção  $C$  de cláusulas sobre um conjunto  $X$  de variáveis booleanas é uma tautologia se toda atribuição a  $X$  satisfaz  $C$ . O problema TAUTOLOGIA consiste em, dado  $X$  e  $C$ , decidir se  $C$  é ou não uma tautologia. O problema TAUTOLOGIA está em NP? Está em coNP? Justifique suas respostas.

**Resposta:**

4. O problema 2-SAT consiste na restrição de SAT a instâncias  $X$  e  $C$  em que toda cláusula de  $C$  tem exatamente dois literais. Mostre que o 2-SAT está em P, ou seja, descreva um algoritmo polinomial que resolva o 2-SAT.

**Resposta:**

5. Mostre que 2-COLORAÇÃO está em P.

**Resposta:**

6. Seja  $G = (V, E)$  um grafo. Um conjunto  $S \subseteq V$  é independente se quaisquer dois vértices de  $S$  não são adjacentes. Ou seja, não há nenhuma aresta do grafo com as duas pontas em  $S$ . O problema IS consiste no seguinte: dado um grafo  $G$  e um inteiro  $k \geq 0$ , existe um conjunto independente em  $G$  com  $k$  vértices? Mostre que IS é NP-completo.

**Resposta:**

7. Seja  $G = (V, E)$  um grafo. Uma 3-COLORAÇÃO de  $G$  é uma função  $c : V \rightarrow 1, 2, 3$  tal que  $c(u) \neq c(v)$ , para toda aresta  $uv \in E$ . Considere o

**Problema 3-COLORAÇÃO:** Dado um grafo, determinar se ele tem ou não uma 3-COLORAÇÃO.

Mostre que o 3-COLORAÇÃO está em NP.

**Resposta:**

8. Mostre que o problema abaixo é NP-completo.

**Problema PARTIÇÃO:** Dada uma coleção  $S$  de números, decidir se existe uma sub-coleção  $S'$  de  $S$  cuja soma é igual a soma dos números em  $S$ , ou seja,

$$\sum_{x \in S} x = \sum_{x \notin S} x$$

**Resposta:**

9. Mostre que o problema abaixo é NP-completo.

**Problema MOCHILA:** Dado um número  $W$ , um número  $V$ , um número inteiro positivo  $n$ , uma coleção de números  $w_1, \dots, w_n$ , e uma coleção de números  $v_1, \dots, v_n$ , decidir se existe um subconjunto  $S$  de  $\{1, \dots, n\}$  tal que

$$\sum_{i \in S} w_i \leq W \text{ e } \sum_{i \in S} v_i \geq V$$

**Resposta:**

## CLRS (Outros)

A.1-7 Avalie o produtório  $\prod_{k=1}^n 2(4^k)$ .

$$\prod_{k=1}^n 2(4^k) = \prod_{k=1}^n 2((2^2)^k) = \prod_{k=1}^n 2(2^{2k}) = \prod_{k=1}^n 2^{2k+1}$$

Se avaliarmos o produtório para  $n = 3$ , por exemplo:

$$\prod_{k=1}^3 2^{2k+1} = 2^{2+1} \times 2^{4+1} \times 2^{6+1}$$

Percebemos que o expoente de 2 cresce em uma série aritmética:

$$\sum_{k=1}^n 2k + 1 = \sum_{k=1}^n 2k + \sum_{k=1}^n 1 = 2 \sum_{k=1}^n k + n = 2\left(\frac{n(n+1)}{2}\right) + n = n(n+2)$$

Portanto:

$$\prod_{k=1}^n 2(4^k) = 2^{n(n+2)}$$